

Отсюда видно, что знак константы Холла совпадает со знаком заряда q частиц, обусловливающих проводимость данного материала. Поэтому на основании измерения константы Холла для полупроводника можно судить о природе его проводимости: если $R < 0$, то проводимость электронная, если $R > 0$, то дырочная. Если в полупроводнике одновременно осуществляются оба типа проводимости, то по знаку константы Холла можно судить о том, какой из них является преобладающим (см. § 13.5).

С помощью константы Холла можно также определить концентрацию носителей заряда, если характер проводимости и величина их заряда известны (например, для металлов):

$$n_0 = 1/qR.$$

Так, для одновалентных металлов оказалось, что концентрация электронов проводимости совпадает с концентрацией атомов.

Зная константу Холла для электронного проводника, можно оценить значение $\langle \lambda \rangle$ средней длины свободного пробега электронов. Из (8.11) и (18.15) следует, что

$$\langle \lambda \rangle = \frac{2mu\gamma}{n_0 e^2} = \frac{2mu\gamma R}{e}, \quad (18.16)$$

где e и m — абсолютная величина заряда электрона и его масса, u — средняя скорость теплового движения электронов в проводнике, γ — удельная электрическая проводимость и R — константа Холла. Оказалось, что средняя длина свободного пробега электронов в металлах достигает сотен межзельных расстояний ($\langle \lambda \rangle \approx 10^{-6}$ см).

§ 18.3. Движение заряженных частиц в однородном магнитном поле

1. Полученное выше выражение для силы Лоренца (18.3) позволяет установить ряд закономерностей движения заряженных частиц в магнитном поле, лежащих в основе устройства электронного микроскопа, масс-спектрометра и ускорителей заряженных частиц.

Рассмотрим движение заряженных частиц в однородном магнитном поле. При этом будем считать, что на частицы не действуют никакие электрические поля.

2. Начнем с простейшего случая — движения заряженной частицы вдоль линий индукции магнитного поля. При этом угол α между векторами скорости v частицы и индукции B равен 0 или π . Поэтому по формуле (18.4) сила Лоренца равна нулю, т. е. магнитное поле не действует на частицу. Она будет двигаться по инерции — равномерно и прямолинейно.

3. Пусть частица, имеющая заряд q , движется перпендикулярно линиям магнитной индукции ($\alpha = \pi/2$). Тогда сила Лоренца направлена перпендикулярно векторам v и B (рис. 18.3) и численно равна

$$F_q = |q|vB. \quad (18.17)$$

Следовательно, частица движется в плоскости, перпендикулярной вектору магнитной индукции, причем сила Лоренца является центробежительной силой, вычисляемой по формуле

$$F_{\text{ц}} = mv^2/r, \quad (18.18)$$

где m — масса частицы, r — радиус кривизны ее траектории. Приняв правые части выражений (18.17) и (18.18), найдем

$$r = \left| \frac{m}{q} \right| \frac{v}{B}. \quad (18.19)$$

Так как в однородном поле $B = \text{const}$, а числовое значение скорости частицы не изменяется, то радиус кривизны траектории частицы оказывается постоянным. Поэтому она будет двигаться по окружности, плоскость которой перпендикулярна вектору магнитной индукции, а радиус пропорционален отношению скорости частицы к произведению ее удельного заряда q/m на индукцию B поля.

4. Направления силы Лоренца F_L и вызываемого ею отклонения заряженной частицы в магнитном поле зависят от знака ее заряда q . Если частица движется в плоскости чертежа (рис. 18.6) слева направо, а магнитное поле направлено из-за чертежа перпендикулярно его плоскости, то при

$q > 0$ частица отклоняется вниз, а при $q < 0$ — вверх. Таким образом, по характеру отклонения частицы в магнитном поле можно судить о знаке ее заряда. Этим широко пользуются в исследованиях элементарных частиц.

5. Частица движется по окружности радиуса r равномерно. Поэтому период обращения частицы, т. е. время ее одного полного оборота, как видно из (18.19), равен

$$T = \frac{2\pi r}{v} = \frac{2\pi}{B} \left| \frac{m}{q} \right|. \quad (18.20)$$

Период обращения обратно пропорционален произведению индукции магнитного поля на удельный заряд частицы и не зависит от ее скорости.

При очень больших скоростях движения частицы, соизмеримых со скоростью света, обнаруживается зависимость ее массы m от скорости. Поэтому сделанный нами вывод о независимости периода обращения частицы от скорости справедлив только для движений со скоростями v , во много раз меньшими скорости света.

6. Рассмотрим теперь общий случай движения заряженной частицы в однородном магнитном поле, когда ее скорость v направлена

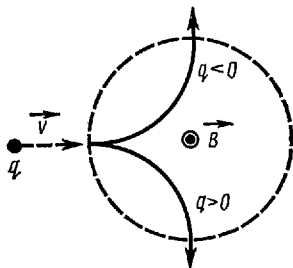


Рис. 18.6

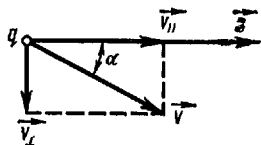


Рис. 18.7

под произвольным острым углом α к вектору индукции \mathbf{B} поля (рис 18.7). Разложим вектор скорости \mathbf{v} на две составляющие — параллельную вектору \mathbf{B} (v_{\parallel}) и перпендикулярную ему (v_{\perp}):

$$\left. \begin{array}{l} v_{\parallel} = v \cos \alpha, \\ v_{\perp} = v \sin \alpha. \end{array} \right\} \quad (18.21)$$

Скорость v_{\parallel} в магнитном поле не изменяется. Частица одновременно участвует в двух движениях: она равномерно вращается со скоростью v_{\perp} по окружности радиуса

$$r = \left| \frac{m}{q} \right| \frac{v_{\perp}}{B} = \left| \frac{m}{q} \right| \frac{v \sin \alpha}{B} \quad (18.22)$$

и движется поступательно с постоянной скоростью v_{\parallel} в направлении, перпендикулярном плоскости вращения. Поэтому траектория заряженной частицы представляет собой винтовую линию, ось которой совпадает с линией индукции магнитного поля (рис. 18.8). Радиус r витков выражается формулой (18.22), а расстояние между соседними витками (шаг винтовой линии) равно $h = v_{\parallel} T$. Заменив T по формуле (18.20), а v_{\parallel} по (18.21), получим

$$h = \frac{2\pi}{B} \left| \frac{m}{q} \right| v \cos \alpha. \quad (18.23)$$

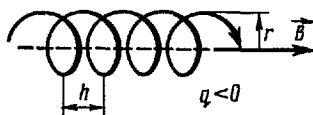


Рис. 18.8

§ 18.4. Экспериментальное определение удельного заряда частиц. Масс-спектрография

1. Рассмотренные в предыдущем параграфе закономерности движения заряженных частиц в однородном магнитном поле позволили разработать весьма точные методы экспериментального определения масс этих частиц. В самом деле, для определения массы частицы достаточно измерить ее заряд q и удельный заряд q/m . Некоторые методы определения заряда частиц были описаны в § 11.2. Теперь мы кратко остановимся на простейших методах измерения удельного заряда частиц.

2. Упрощенная схема установки для измерения удельного заряда электрона показана на рис. 18.9. Металлический катод K вакуумной трубки M нагревается током от батареи B_n . Электроны, вылетающие из катода вследствие термоэлектронной эмиссии, ускоряются сильным электрическим полем, созданным между катодом и анодом A трубки высоковольтной батареей B_a . Через узкое отверстие O в пространство за анод проникает только тонкий пучок электронов, распространяющихся вдоль оси трубы и улавливаемых цилиндром Фарадея D , который включен в цепь батареи B_a через гальванометр G . Кроме того, в трубку впаян небольшой боковой электрод C , включенный в цепь через гальванометр G_1 . В пространстве за анодом с помощью сильного